

アネモ型ディフューザーを空調吹出し口に用いた室の気流解析に関する研究
(その3) スプリットフィルムプローブでの風速測定による吹出し境界条件の作成

正会員 ○ 岡市敦雄^{*1}
同 山中俊夫^{*2}
同 甲谷寿史^{*3}
同 加藤正宏^{*4}

境界条件 スプリットフィルムプローブ アネモ型ディフューザー

1. はじめに

本研究は、アネモ型ディフューザー（図1）を空調吹出し口に用いた室の室内気流計算負荷の軽減を目的としており、前報¹⁾において吹出し口近傍の複雑気流場²⁾を吹出し口近傍領域（図2）と設定して解析領域から除き、領域外周面に自由場における3次元超音波風速計の測定値に基づく境界条件を与えるCFD解析手法について検討を行った。

本報は、吹出し口近傍領域外周のメッシュ分割数とCFD解析精度との関係について検討を行うために、吹出し口近傍領域外周の分割間隔を5cmとした条件での風速測定の結果及び、測定に用いるスプリットフィルムプローブの較正について報告を行う。

2. スプリットフィルムプローブの較正

2.1 較正方法の概要 スプリットフィルムプローブは、熱線風速計の一種であり、2つの独立した白金フィ

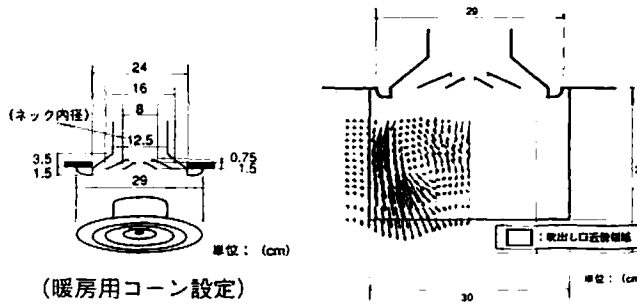


図1 アネモ型ディフューザー 図2 吹出し口近傍領域の設定

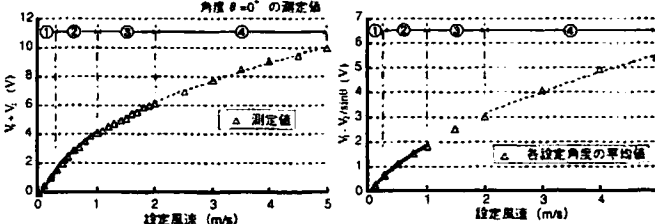


図3 風速較正曲線

図4 角度較正曲線

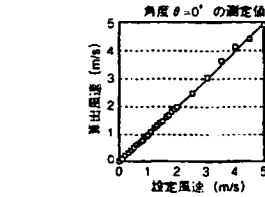


図5 設定風速と算出風速との関係

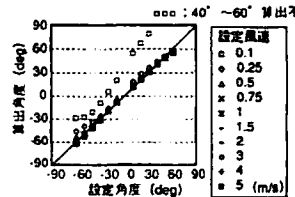


図6 設定角度と算出角度との関係

CFD of Airflows in Rooms with Anemostat Type Air Diffuser

Part3. Measurement of Airflow Velocity for Making the Boundary Condition by Hot-Film Anemometer

OKAICHI Atsuo, YAMANAKA Toshio, KOTANI Hisashi and KATO Masahiro

ルムの出力電圧 V_1, V_2 の和と差を用いて3次元の風速成分の内の2成分の風速とその内の一方向が判別可能である。スプリットフィルムプローブ及びその較正手法に関しては既報³⁾で報告している。後述するスプリットフィルムプローブ (Model 1288, TSI) を用いた風速測定範囲を勘案し、表1に示す条件と設定した較正はPROBE CALIBRATOR (Model 1165, 1166, KANOMAX) を用いて行い、2つのフィルム出力電圧の5秒間 (100Hz) の平均値を得た。

2.2 較正結果 測定結果及び較正曲線を図3、図4に示す。既報³⁾においては、風速と角度の両較正曲線は1つの近似式で記述したが、本報では低風速域における近似精度向上のためにそれぞれ4つの近似式（表2）を用いた。図5にこれらの較正曲線から算出した風速（算出風速）と設定風速との関係を示すが、較正精度が非常に高いことがわかる。同様に図6に示す通り角度に関しては、風速0.1m/sの条件で大きな誤差が生じて一部 ($40^\circ \sim 60^\circ$) で角度算出が不能であるが、0.25m/s以上では高精度の較正が行われている。

3. CFD解析に用いる境界条件の作成

3.1 実験概要 実験は、自由場と見なせる大空間を有する大阪大学共同実験棟において、図7に示す実験装置を用いて行った。境界条件は、境界面を5cm間隔で分割した分割面の中央点に与えることとし、検討に用いるディフューザーの吹出し気流が中心軸に対象であると考えられることから、図8に示す18点で風速測定を行った。風速の測定手法は既報⁴⁾と同様であり、前述のスプリットフィルムプローブを用いて各測定点毎に図9に示す3

表1 較正実験条件

風速較正実験		角度較正実験		スプリット フィルム センサーロッド
設定風速 (m/s)	設定角度 θ (deg)	設定風速 (m/s)	設定角度 θ (deg)	
0~2 (0.1刻み)	0	0, 0.1, 0.25, 0.5, 0.75	10, 20, 30, 40, 50, 60	
2~5 (0.5刻み)	0	1, 1.5, 2, 3, 4, 5	-10, -20, -30, -40, -50, -60	

表2 較正曲線近似式

風速較正曲線	角度較正曲線	近似式適用範囲 (m/s)
式① $V_1 + V_2 = 6.427 U_N^{0.161}$	式① $\frac{V_1 - V_2}{\sin \theta} = 2.310 U_N^{0.961}$	$0 < U_N \leq 0.25$
式② $V_1 + V_2 = 4.111 U_N^{0.761}$	式② $\frac{V_1 - V_2}{\sin \theta} = 1.838 U_N^{0.771}$	$0.25 < U_N \leq 1$
式③ $V_1 + V_2 = 4.044 U_N^{0.621}$	式③ $\frac{V_1 - V_2}{\sin \theta} = 1.824 U_N^{0.741}$	$1 < U_N \leq 2$
式④ $V_1 + V_2 = 4.329 U_N^{0.521}$	式④ $\frac{V_1 - V_2}{\sin \theta} = 2.029 U_N^{0.622}$	$2 < U_N \leq 5$

表3 実験条件

吹出し風速	2m/s (ディフューザーネック部)
吹出し温度	等温 (周囲温に等しい)
流量	88 m³/h
コーン設定	標準用設定

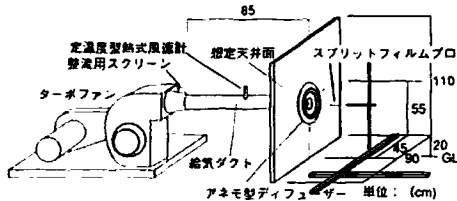


図7 実験装置概要

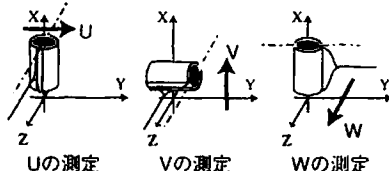


図9 プローブの設置方法

方向から順次プローブを設置して 250Hz で 30 秒間の測定を行い、各風速成分の平均値と変動の実効値を算出した。吹出し流量は既報³⁾の室内模型実験と等しく 88m³/h とし、等温吹出しとした。実験条件を表3に示す。

3.2 結果と考察 測定結果を表4に示す。境界面での流量が吹出し流量と一致する必要があり、このことは境界条件の精度を検討するための材料の1つとなる。表5に、表4に示す境界条件より算出した境界面での流量と、設定流量及び前報で報告した10cm間隔の境界条件から算出した流量を示す。本来分割数が多いほど境界条件の精度は向上する。しかし表5は、分割数の少ない10cm間隔の境界条件が、5cm間隔の境界条件より設定流量に近く精度が良いという結果を示している。これは3次元超音波風速計が1辺5cm程度の立方体の空間平均値を測定するのに対して、スプリットフィルムプローブが約5mmのプローブ面平均値を測定することや、吹出し流量の設定誤差、及びアネモ型ディフューザーの対称性が完全ではないことなどに起因しているものと思われる。

次に図10と図11に境界面における風速ベクトルと乱流エネルギーの分布を示す。図10では天井面近傍において吹出し口近傍領域へ空気が誘引される現象及び、吹出し気流の縮流現象を確認することができる。図11左のX=15cm断面における乱流エネルギーの分布より、側面では天井面近傍及び中央で乱れが大きいこと、Z=20cm断面における乱流エネルギーの分布より、面の中心より外周側で乱れが大きいことがわかる。

参考文献・引用文献

- 1) 加藤,山中,甲谷,岡市「アネモ型ディフューザーを空調吹出し口に用いた室の気流解析に関する研究(その2)」日本建築学会大会学術講演便覧集(東北)D-2, 2000年9月
- 2) 平野,佐藤,山中,甲谷,宮本「ディフューザー周辺の風速と乱流性状の把握に関する研究(その4)」日本建築学会大会学術講演便覧集(関東)D-2, pp.539-540, 1997年9月
- 3) 宮本,佐藤,山中,甲谷,平野「ディフューザー周辺の風速及び乱流性状の把握に関する研究(その1)」日本建築学会近畿支部研究報告集第37号・環境系, pp.157-160, 1997年7月
- 4) 宮本,佐藤,山中,甲谷,平野「ディフューザー周辺の風速及び乱流性状の把握に関する研究(その3)」日本建築学会大会学術講演便覧集(関東)D-2, pp.537-538, 1997年9月
- 5) 岡市,佐藤,山中,甲谷「ディフューザー吹出し噴流の閉空間内性状に関する研究」日本建築学会近畿支部研究報告集第39号・環境系, pp.181-184, 1999年6月

*1 大阪大学大学院工学研究科建築工学専攻 博士前期課程

*2 大阪大学大学院工学研究科建築工学専攻 助教授・博士(工学)

*3 大阪大学大学院工学研究科建築工学専攻 助手

表4 境界条件測定結果一覧

X (cm)	Y (cm)	Z (cm)	U (m/s)	V (m/s)	W (m/s)	乱流エネルギー (m²/s²)
2.5	2.5	20	0.131	0.232	0.131	0.1690
2.5	7.5	20	0.143	-0.291	0.462	0.1695
2.5	12.5	20	0.127	-0.274	0.445	0.1122
2.5	15	17.5	0.210	-0.167	0.162	0.0920
2.5	15	12.5	0.297	-0.141	0.387	0.1537
2.5	15	7.5	0.29	-0.004	0.090	0.1198
2.5	15	2.5	0.254	-0.149	-0.018	0.0065
7.5	7.5	20	-0.212	-0.238	0.717	0.1191
7.5	12.5	20	0.036	-0.130	0.567	0.1600
7.5	15	17.5	-0.037	-0.068	0.170	0.1373
7.5	15	12.5	-0.017	-0.012	0.137	0.1311
7.5	15	7.5	-0.008	-0.047	0.019	0.0287
7.5	15	2.5	-0.123	-0.069	-0.030	0.0153
12.5	12.5	20	-0.054	-0.050	0.190	0.0876
12.5	15	17.5	-0.017	-0.056	0.063	0.0345
12.5	15	12.5	-0.073	-0.060	-0.018	0.0141
12.5	15	7.5	-0.062	-0.075	-0.015	0.0047
12.5	15	2.5	-0.070	-0.095	-0.018	0.0037

図8 風速測定位置

表5 吹出し口近傍境界面流量の比較

設定値	境界メッシュ間隔10cm	境界メッシュ間隔5cm	
流量 (m³/h)	88	80.6	75.0

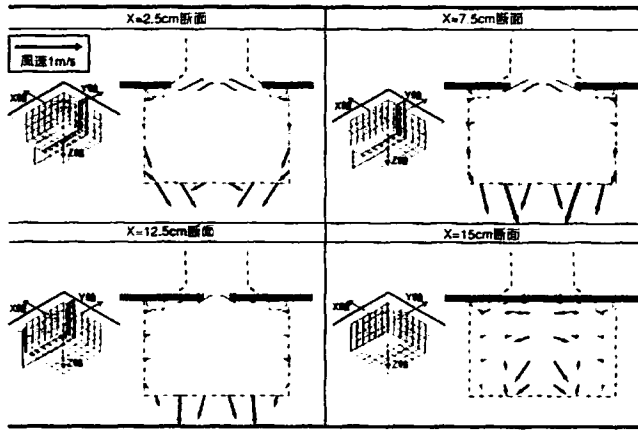


図10 Y-Z断面平均風速ベクトル

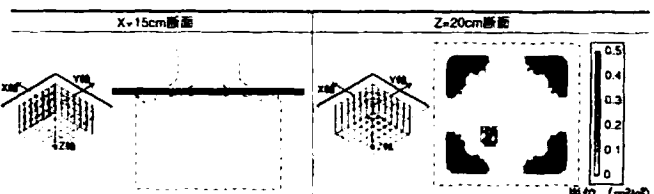


図11 境界面上の乱流エネルギー分布

以上より、スプリットフィルムプローブによる境界条件の測定は、流量収支が設定流量と若干一致しなかったが、各測定点での風速ベクトルはアネモ近傍における気流性状をよく表していることが明らかになった。

4 結語 今後は境界での流量が給気量に等しくなるように風速値を補正する方法について検討すると共に、各風速成分の自己相関係数から渦の長さスケール θ を算出した上で境界条件を作成し、室内気流のCFD解析を行う予定である。

Graduate Student, Department of Architectural Engineering, Graduate School of Engineering, Osaka University
Assoc. Prof., Department of Architectural Engineering, Graduate School of Engineering, Osaka University, Dr. Eng.
Research Associate., Department of Architectural Engineering, Graduate School of Engineering, Osaka University